

## Влияние фазовых переходов на экситонный спектр поглощения $K_2CdI_4$

О.Н. Юнакова<sup>1</sup>, В.К. Милославский<sup>1</sup>, Е.Н. Коваленко<sup>2</sup>

<sup>1</sup>Харьковский национальный университет им. В.Н. Каразина  
пл. Свободы, 4, г. Харьков, 61077, Украина  
E-mail: Vladimir.K.Miloslavsky@univer.kharkov.ua

<sup>2</sup>Харьковский национальный университет радиоэлектроники  
пр. Ленина, 14, г. Харьков, 61166, Украина

Статья поступила в редакцию 25 июня 2004 г., после переработки 30 августа 2004 г.

Исследован спектр поглощения тонких пленок  $K_2CdI_4$  в интервале энергий 3,6–5,1 эВ и температур 90–430 К при нагревании и охлаждении. По температурной зависимости спектрального положения  $E_m(T)$  и полуширины  $\Gamma(T)$  длинноволновой экситонной полосы в  $K_2CdI_4$  обнаружены фазовые переходы II рода при 400 и 220 К и I рода при 320 К. Последовательность фазовых переходов в  $K_2CdI_4$  подобна последовательности в близких соединениях  $Rb_2CdI_4$  и  $Cs_2CdI_4$ .

Досліджено спектр поглинання тонких плівок  $K_2CdI_4$  в інтервалі енергії 3,6–5,1 еВ і температур 90–430 К при нагріванні й охолодженні. По температурній залежності спектрального положення  $E_m(T)$  і напівширини  $\Gamma(T)$  довгохвильової екситонної смуги в  $K_2CdI_4$  виявлено фазові переходи II роду при 400 і 220 К та I роду при 320 К. Послідовність фазових переходів в  $K_2CdI_4$  подібна до послідовності у близьких сполуках  $Rb_2CdI_4$  і  $Cs_2CdI_4$ .

PACS: 77.80.–e, 77.80.Bh, 78.40.–q

Согласно ранним термографическим исследованиям, в системе KI–CdI<sub>2</sub> образуется соединение K<sub>4</sub>CdI<sub>6</sub>, а в соответствующих системах с рубидием и цезием – Rb<sub>2</sub>CdI<sub>4</sub> и Cs<sub>2</sub>CdI<sub>4</sub> [1]. Однако рентгеноструктурные исследования сплавленных порошков молярного состава K<sub>4</sub>CdI<sub>6</sub> не подтверждают образование такого соединения [2]. В [3] было показано, что в системе KI–CdI<sub>2</sub> образуется соединение K<sub>2</sub>CdI<sub>4</sub>. Такой вывод сделан нами на основании сравнения спектров поглощения тонких пленок заданного молярного состава со спектрами указанных выше соединений [3].

Спектр поглощения тонких пленок K<sub>2</sub>CdI<sub>4</sub> [3] по структуре и спектральному положению основных полос поглощения подобен спектрам соединений Rb<sub>2</sub>CdI<sub>4</sub> и Cs<sub>2</sub>CdI<sub>4</sub> со структурой типа  $\beta$ -K<sub>2</sub>SO<sub>4</sub> [4,5], относящихся к собственным сегнетоэластикам с несоразмерной фазой. Для них установлена следующая последовательность фазовых переходов: парафаза  $\leftrightarrow$  несоразмерная при  $T_{c1}$ , несоразмерная  $\leftrightarrow$  I сегнетоэластическая (моноклинная) при  $T_{c2}$  и I  $\leftrightarrow$  II сегнетоэластические при  $T_{c3}$  [6,7]. Фазовые

переходы в этих соединениях оказывают существенное влияние на экситонный спектр [4,5], что позволяет методом экситонной спектроскопии выявить фазовые переходы и исследовать их характер.

В настоящей работе исследуется спектр поглощения нового соединения K<sub>2</sub>CdI<sub>4</sub> в области длинноволновой экситонной полосы в широком температурном интервале, включающем температуры возможных фазовых переходов, с целью выявления фазовых переходов и исследования их влияния на экситонный спектр.

### Эксперимент

Тонкие пленки K<sub>2</sub>CdI<sub>4</sub> толщиной ~100 нм получали испарением в вакууме смеси чистых порошков CdI<sub>2</sub> и KI заданного стехиометрического состава на нагретые до 100°C кварцевые подложки по методике, описанной в [4,5]. Смесь порошков предварительно расплавляли под экраном, выпаривали жидкую фракцию расплава, а оставшийся кристалличес-

ский осадок испаряли на подложку при более высокой температуре. Образцы отжигали в течение часа при  $T_{\text{ann}} = 120^\circ\text{C}$ .

Из-за высокой гигроскопичности в пленках  $K_2CdI_4$ , вынесенных из вакуума и охлажденных на воздухе до комнатной температуры, появляется сильное светорассеяние. Для избежания этого образец нагретым переносили в вакуумный криостат, медный палец которого предварительно нагревали до  $70^\circ\text{C}$ . После откачки криостата образцы в вакууме сохраняются длительное время.

Спектры поглощения измеряли на спектрофотометре СФ-46 в области спектра 3,6–5,1 эВ и интервале температур 90–430 К, включающем температуры возможных фазовых переходов. В интервале 90–343 К измерение спектров проводили в вакуумном криостате, при более высоких температурах — в обычном термостате. При каждом измерении образец при заданной температуре выдерживали 20 мин.

При увеличении температуры контур экситонной полосы изменяется от почти чисто лоренцева при 90 К до чисто гауссова при  $T \geq 290$  К за счет экситон-фононного взаимодействия. В связи с этим в интервале  $90 \text{ K} \leq T \leq 290$  К полосу аппроксимировали линейной комбинацией лоренцева и гауссова контуров. При такой аппроксимации контур близок к контуру Фохта [8]. Изменение контура экситонной полосы при увеличении температуры от чисто лоренцева при 90 К до чисто гауссова при  $T = 290$  К установлено нами для целого ряда как бинарных ( $\text{CuCl}, \text{CuBr}, \text{CuI}, \text{AgI}$  [9] и др.), так и комплексных ( $\text{Ag}_2\text{CdI}_4, \text{RbCu}_4\text{Cl}_3\text{I}_2, \text{Cs}_2\text{CdI}_4$  [4, 10] и др.) соединений. Параметры длинноволновой экситонной полосы (спектральное положение  $E_m$ , полуширина  $\Gamma$  и  $\varepsilon_{2m}$ ) определяли путем аппроксимации экспериментальной зависимости симметричным одноосцилляторным контуром, представляющим собой линейную комбинацию лоренцева и гауссова контуров [8].

### Температурная зависимость параметров длинноволновой экситонной полосы в $K_2CdI_4$

В области спектра 3,6–5,1 эВ в  $K_2CdI_4$  наблюдаются интенсивная  $A_0$ -полоса при 4,612 эВ и более слабая  $A_1$ -полоса при 4,97 эВ (рис. 1). При увеличении температуры  $A_0$ - и  $A_1$ -полосы сдвигаются в длинноволновую область спектра, уширяются и ослабляются за счет экситон-фононного взаимодействия, что указывает на их связь с экситонными возбуждениями. Спектральное положение  $A_0$ -полосы (4,612 эВ) в координатах  $E_m(x)$ , где  $x$  — молярная концентрация в системе  $(2\text{KI})_{1-x}(\text{Cd}_{0,5}\text{I})_x$ , расположено на прямой линии, соединяющей  $E_m$  экситонного пика в  $\text{KI}$  (5,84 эВ) и  $X_1$ -пика в  $\text{CdI}_2$  (4,04 эВ) при  $x = 2/3$ , что свидетельствует о принадлежности поло-

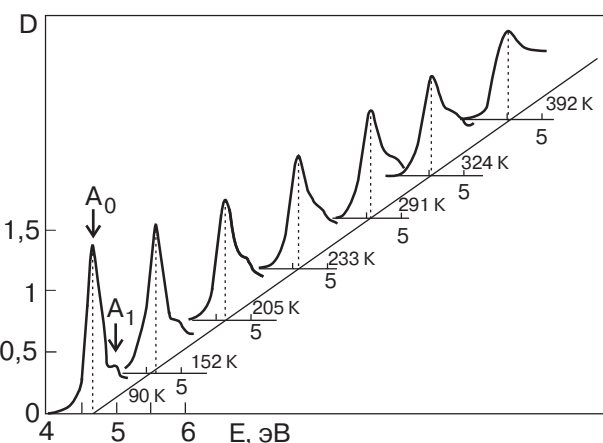


Рис. 1. Длинноволновые экситонные полосы поглощения в  $K_2CdI_4$  при различных температурах. Спектры получены при нагревании образца. Толщина пленки 145 нм.

сы соединению  $K_2CdI_4$ . Возможное соединение  $K_4CdI_6$  ( $x = 0,5$ ) имело бы длинноволновый пик при 4,94 эВ. О принадлежности спектра соединению  $K_2CdI_4$  свидетельствует также близость положения  $A_0$ -полосы и соответствующих полос в  $\text{Rb}_2\text{CdI}_4$  (4,63 эВ) и  $\text{Cs}_2\text{CdI}_4$  (4,65 эВ) [4, 5].

Резкий длинноволновый край  $A_0$ -полосы и ее большая интенсивность свидетельствуют, что  $K_2CdI_4$  является прямозонным диэлектриком.

Параметры  $A_0$ -полосы (положение  $E_m$ , полуширина  $\Gamma$  и  $\varepsilon_{2m}$ ) определялись в 23 температурных точках при нагревании и охлаждении образца.

Зависимости  $E_m(T)$  и  $\Gamma(T)$ , снятые при нагревании и охлаждении образца, существенно отличаются (рис. 2) из-за эффектов термической памяти в образце, проявляющихся в сегнетоэластиках. В температурной зависимости  $E_m^{\uparrow}(T)$ , снятой при нагревании, наблюдаются изломы при  $T_{c3} \approx 220$  К,  $T_{c2} \approx 320$  К и  $T_{c1} \approx 400$  К. Вблизи этих температур наблюдаются также особенности в обратном ходе  $E_m^{\downarrow}(T)$  и зависимостях  $\Gamma(T)$ , снятых при нагревании и охлаждении образца, т.е., по-видимому, в районе этих температур имеют место фазовые переходы. Предположив в  $K_2CdI_4$  ту же последовательность фазовых переходов, что и в изоморфных соединениях  $\text{Rb}_2\text{CdI}_4$  и  $\text{Cs}_2\text{CdI}_4$ , проанализируем зависимости  $E_m(T)$  и  $\Gamma(T)$  при прямом и обратном ходе  $T$ .

С ростом температуры  $A_0$ -полоса линейно сдвигается в длинноволновую область спектра с  $dE_m/dT = -5,68 \cdot 10^{-4}$  эВ/К в интервале температур 90–220 К. При  $T_{c3} \approx 220$  К наблюдается излом в зависимости  $E_m^{\uparrow}(T)$ , и в интервале 220–300 К температурный коэффициент сдвига немного уменьшается:  $dE_m/dT = -4,0 \cdot 10^{-4}$  эВ/К. В районе  $T_{c2} \approx 320$  К наблюдается

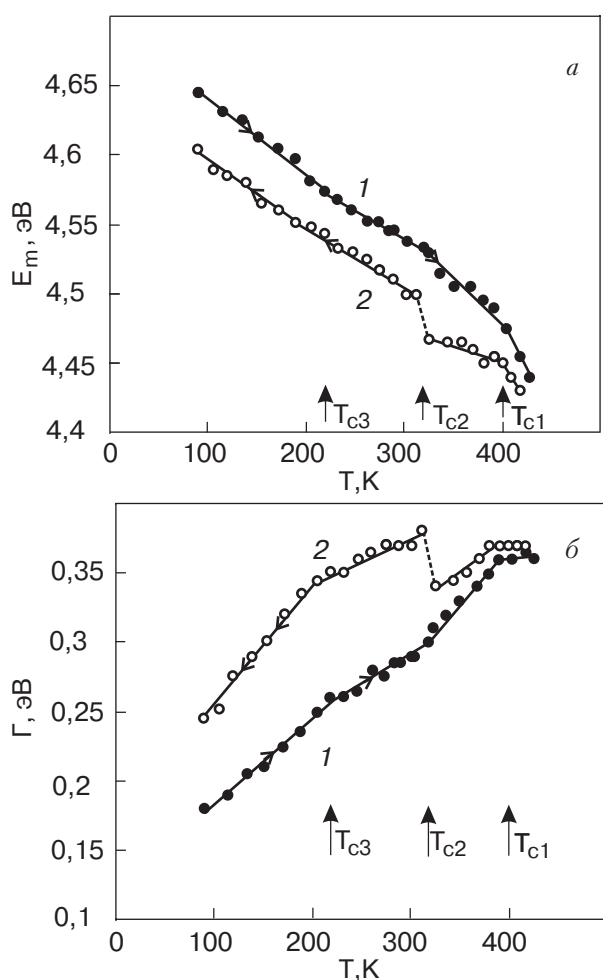


Рис. 2. Температурные зависимости положения  $E_m$  (а) и полуширины  $\Gamma$  (б)  $A_0$ -полосы в  $K_2CdI_4$ , полученные при нагревании (1) и охлаждении (2) образца.

излом в  $E_m^{\downarrow}(T)$ , и в интервале 320–400 К  $dE_m/dT = -6,8 \cdot 10^{-4}$  эВ/К. Еще большее значение  $dE_m/dT = -1,5 \cdot 10^{-3}$  эВ/К в парафазе при  $T > 400$  К. Следует отметить, что в температурной зависимости  $E_m^{\uparrow}(T)$ , снятой при нагревании, фазовые переходы слабо проявляются, размыты по температуре, что обусловлено, по-видимому, термической инерционностью образца, вследствие чего II сегнетоэластическая фаза частично сохраняется в области существования I сегнетоэластической фазы ( $220$  К  $< T < 320$  К), I сегнетоэластическая — в несоразмерной ( $320$  К  $< T < 400$  К).

Полуширина  $A_0$ -полосы при нагревании растет линейно во всем интервале температур по закону

$$\Gamma(T) = \Gamma(0) + aT,$$

где  $a = d\Gamma/dT$ ,  $\Gamma(0)$  — остаточное уширение, определяемое дефектностью решетки. В области существования фаз  $d\Gamma/dT$  составляет

II сегнетоэластическая ( $90$  К  $< T < 220$  К)

$$d\Gamma/dT = 6,23 \cdot 10^{-4} \text{ эВ/К}, \Gamma(0) = 0,122 \text{ эВ};$$

I сегнетоэластическая ( $220$  К  $< T < 320$  К)

$$d\Gamma/dT = 5,8 \cdot 10^{-4} \text{ эВ/К}, \Gamma(0) = 0,120 \text{ эВ};$$

несоразмерная ( $320$  К  $< T < 400$  К)

$$d\Gamma/dT = 7,14 \cdot 10^{-4} \text{ эВ/К}, \Gamma(0) = 0,08 \text{ эВ}.$$

В области парафазы ( $T > 400$  К)  $\Gamma(T)$  выходит на насыщение, что, по-видимому, обусловлено близостью температур в этом интервале к температуре плавления  $K_2CdI_4$  (210°C [1]). Линейный ход  $\Gamma(T)$  указывает на низкую размерность экситонов в  $K_2CdI_4$ . Согласно теории [11], развитой для экситон-фононного взаимодействия в кристаллах различной размерности, линейная зависимость  $\Gamma(T)$  присуща 2D экситонам. Большее значение остаточного уширения в низкотемпературных сегнетоэластических фазах характеризует их большую дефектность по сравнению с несоразмерной фазой.

Из-за высокой термоинерционности образцов обратный ход  $E_m^{\downarrow}(T)$  не совпадает с прямым даже в области существования парафазы, однако значения коэффициентов температурного сдвига  $dE_m^{\downarrow}/dT = -1,17 \cdot 10^{-3}$  эВ/К близки. В несоразмерной фазе в зависимостях  $E_m^{\downarrow}(T)$  и  $\Gamma^{\downarrow}(T)$  при обратном ходе наблюдается скачок при  $T_{c2}$ , указывающий на фазовый переход I рода. Такой ход зависимости  $E_m^{\downarrow}(T)$  в области несоразмерной фазы, по-видимому, обусловлен формированием солитонов и их пиннингом при подходе к  $T_{c2}$ , частично сохраняющимся и в полярной фазе при  $T < 320$  К. Увеличение  $\Gamma$  в более низкотемпературных сегнетоэластических фазах ( $T < 320$  К) по сравнению с несоразмерной ( $320$  К  $< T < 400$  К) указывает на наличие в них дополнительного механизма уширения. Вклад в уширение за счет экситон-фононного взаимодействия в несоразмерной и сегнетоэластических фазах близок, о чем свидетельствуют близкие значения  $d\Gamma/dT$  в этих фазах. Дополнительное уширение экситонной полосы в сегнетоэластических фазах, по-видимому, обусловлено рассеянием экситонов на границах доменов.

Таким образом, из исследования зависимостей  $E_m(T)$  и  $\Gamma(T)$  в  $K_2CdI_4$  установлены фазовые переходы II рода при  $T_{c1} \approx 400$  К и  $T_{c3} \approx 220$  К и I рода при  $T_{c2} \approx 320$  К. Температурный ход  $E_m(T)$  и  $\Gamma(T)$  в интервале 320 К  $< T < 400$  К типичен для несоразмерной фазы: более сильный температурный гистерезис в низкотемпературной области вблизи  $T_{c2}$  и более слабый вблизи  $T_{c1}$ . На основании сказанного выше можно сделать вывод, что в  $K_2CdI_4$ , по-видимому, наблюдается та же последовательность фазовых переходов, что и в  $Rb_2CdI_4$  и  $Cs_2CdI_4$ .

1. И.Н. Беляев, Е.А. Шургинов, Н.С. Кудряшов, *Журн. неорганической химии*, **17**, 2812 (1972).
2. H.P. Beck and W. Milius, *Z. Anorg. Allg. Chem.* **562**, 102 (1988).

3. О.Н. Юнакова, В.К. Милославский, Е.Н. Коваленко, *ФТТ* принята в печать (2004)
4. О.Н. Юнакова, В.К. Милославский, Е.Н. Коваленко, *ФТТ* **45**, 887 (2003).
5. О.Н. Юнакова, В.К. Милославский, Е.Н. Коваленко, *ФНТ* **29**, 922 (2003).
6. K.S. Aleksandrov, S.V. Melnikova, I.N. Flerov, A.D. Vasilev, A.I. Kruglik, and I.T. Kokov, *Phys. Status Solidi A* **105**, 441 (1988).
7. V. Teuchard, M. Louer, J.P. Auffredic, and D. Louer, *Rev. Chim. Miner.* **24**, 414 (1987).
8. В.К. Милославский, О.Н. Юнакова, Сунь Цзя-Кинь, *Онм. и спектр.* **78**, 436 (1995).
9. В.К. Милославский, О.Н. Юнакова. *Онм. и спектр.* **57**, 95 (1984); В.К. Милославский, О.Н. Юнакова, *УФЖ* **31**, 50 (1986); В.К. Милославский, О.Н. Юнакова, *УФЖ* **32**, 362 (1987).
10. О.Н. Юнакова, В.К. Милославский, Е.Н. Коваленко, *ФТТ* **43**, 1037 (2001); Е.Н. Коваленко, В.К. Милославский, О.Н. Юнакова, *ФТТ* **40**, 1022 (1998).
11. M. Schreiber and Y. Toyozawa, *J. Phys. Soc. Jpn.* **51**, 1528 (1982).

Influence of phase transitions on excitonic absorption spectrum  $K_2CdI_4$ .

O.N. Yunakova, V.K. Miloslavsky,  
and E.N. Kovalenko

The absorption spectrum of  $K_2CdI_4$  thin films was studied at energies ranged from 3,6 to 5,1 eV in a temperature interval 90–430 K on heating and cooling. The temperature dependences of spectral position and halfwidth of the long-wave exciton band,  $E_m(T)$  and  $\Gamma(T)$ , in  $K_2CdI_4$  display second-order phase transitions at 400 and 220 K and first-order ones at 320 K. The sequence of the phase transitions in  $K_2CdI_4$  is similar to that in  $Rb_2CdI_4$  and  $Cs_2CdI_4$ .